

УДК 539.3:534.1

Е. И. ВОРОВИЧ, О. Д. ПРЯХИНА

**ДИНАМИЧЕСКАЯ КОНТАКТНАЯ ЗАДАЧА  
ДЛЯ УПРУГОЙ СИСТЕМЫ БАЛКА — СЛОЙ**

При гармонических колебаниях абсолютно жесткого штампа достаточно большой массы, контактирующего без трения с упругим слоем или полосой, при частотах, меньших частоты отпирания волновода — первой критической частоты возбуждения волны в слое, — имеют место изолированные резонансы, на которых амплитуда вынужденных колебаний становится бесконечной [1].

В публикуемой работе для анализа влияния упругости штампа на возникновение изолированных частот рассматривается плоская контактная задача о колебаниях упругого слоя (полосы) и связанной с ней без трения упругой балки. Резонансы в этой задаче также имеют место, начиная с некоторого соотношения толщины балки и полосы. На основе полученного решения дается анализ динамической реакции упругой полосы для определения возможности использования решений, основанных на гипотезе Винклера.

**1. Основные уравнения.** Пусть упругая балка постоянного сечения действует на упругую полосу, жестко защемленную по нижней грани, при отсутствии трения в области контакта. Полоса занимает область

$0 \leq y \leq h$ ,  $-\infty < x < \infty$ , длина балки  $2a$ , концы балки шарнирно закреплены.

На балку действует распределенная поперечная нагрузка интенсивности  $p_0(x)e^{-i\omega t}$  и осевая продольная сила  $N$ , постоянная по длине, причем  $N > 0$  для сжимающей силы (фиг. 1).

Влияние продольных сил оказывается существенным, если их абсолютная величина имеет один порядок с величиной усилий  $N_*$ , вызывающих потерю устойчивости балки. Анализ точных

решений показывает, что особенности прогибов и изгибающих моментов в задачах продольно-поперечного изгиба зависят от безразмерного параметра гибкости  $n = N/N_*$ , где  $N_*^{m1n} = 4\pi^2 EJ/b^2$ ,  $0 \leq n \leq 1$ . Тогда основное уравнение продольно-поперечных изгибных колебаний балки в амплитудных безразмерных параметрах (множитель  $e^{-i\omega t}$  всюду опущен) имеет вид

$$u^{(4)} + \alpha u^{(2)} - R\Omega^2 u = p - \beta q \quad (1.1)$$

$$\alpha = 1/4\pi^2 n a^2, \beta = 12 M H^{-3}, \Omega^2 = \rho \omega^2 h^2 \mu^{-1}, a = b h^{-1}$$

$$R = R_0 H \beta, R_0 = \rho_0 \rho^{-1}, H = h_0 h^{-1}, M = \mu E^{-1}$$

Здесь  $\rho_0$ ,  $h_0$ ,  $E$  — соответственно плотность, толщина и модуль Юнга балки,  $\rho$ ,  $h$ ,  $\mu$  — плотность, толщина и модуль упругости полосы;  $\omega$  — частота колебаний;  $u(x)$  — прогиб балки,  $a$  — полудлина балки, отнесенная к  $h$ ,  $p(x)$  — заданная распределенная нагрузка  $p(x) = p_0(x)h^3/(EJ)$ ,  $n(x)$  — жесткость сечения на изгиб,  $q(x)$  — нормальные напряжения, возникающие в области контакта или реакция упругого основания, отнесенная к  $\mu$  и меняющаяся по длине балки. Эта функция определяется при

решении стандартной динамической контактной задачи о действии абсолютно жесткого штампа на указанную среду.

$$\int_{-a}^a k(x-\xi) q(\xi) d\xi = u(x), \quad |x| \leq a \quad (1.2)$$

$$k(x) = \frac{1}{2\pi} \int_{-\sigma}^{\sigma} K(u) e^{-iux} du$$

Контур  $\sigma$  выбирается в соответствии с принципом излучения [2]. Функция  $K(u)$  определяется типом среды и является аналитической, четной, вещественной при вещественных аргументах и имеет поведение на бесконечности вида  $c|u|^{-1}$ ,  $|u| \rightarrow \infty$ .

Для упругой полосы с жестко защемленной нижней гранью и при заданных вертикальных смещениях  $\bar{u}(x)$  на поверхности среды в области  $|x| \leq a$  (вне этой области поверхность свободна от нагрузок) функция  $K(u)$  имеет следующий вид:

$$K(u) = \frac{1}{4} \Delta^{-1} \kappa_2^2 \sigma_1 (\sigma_1 \sigma_2 \operatorname{sh} \sigma_1 \operatorname{ch} \sigma_2 - u^2 \operatorname{ch} \sigma_1 \operatorname{sh} \sigma_2)$$

$$\Delta(u) = (2u^4 - u^2 \kappa_2^2) \sigma_1 \sigma_2 - (2u^4 - u^2 \kappa_2^2 +$$

$$+ \frac{1}{4} \kappa_2^4) \sigma_1 \sigma_2 \operatorname{ch} \sigma_1 \operatorname{ch} \sigma_2 + u^2 [2u^4 - u^2 (\kappa_1^2 + 2\kappa_2^2) +$$

$$+ \frac{1}{4} \kappa_2^4 + \kappa_1^2 \kappa_2^2] \operatorname{sh} \sigma_1 \operatorname{sh} \sigma_2, \sigma_2 = u^2 - \kappa_2^2$$

$$\operatorname{Re} \sigma_k \geq 0, \operatorname{Im} \sigma_k \leq 0 \quad (k=1, 2), \kappa_1^2 = \rho \omega^2 / (\lambda + 2\mu)$$

$$\kappa_2^2 = \rho \omega^2 / \mu = \Omega^2, K(u) \rightarrow c/|u|, |u| \rightarrow \infty, c = 1 - v$$
(1.3)

Кроме того, в случае шарнирного опирания балки должны выполняться условия

$$u(x) = 0, \frac{du}{dx}(x) = 0, x = \pm a, y = 1 \quad (1.4)$$

**2. Построение решения.** Не нарушая общности, рассмотрим два случая нагрузки  $p(x)$ : кососимметричной (задача 1) и симметричной (задача 2) соответственно.

Решение (1.1) ищем в виде

$$u = \sum_{k=1}^{\infty} b_k \sin \frac{\pi k x}{a} \quad (2.1)$$

$$u = \sum_{k=1,3,5,\dots} b_k \cos \frac{\pi k x}{2a} \quad (2.2)$$

которые удовлетворяют граничным условиям задачи (1.4).

В [3] методом фиктивного поглощения построено решение  $t(x, \eta)$  уравнение (1.2) для правой части  $u(x) = e^{-i\eta x}$  ( $\operatorname{Im} \eta = 0$ ).

На основании результатов этой работы для смещения  $u(x)$  вида (2.1), (2.2) контактные давления будут определяться соотношениями

$$q(x) = \sum_k b_k q_k(x) \quad (2.3)$$

Задачи 1 и 2 соответственно

$$q_h(x) = \frac{1}{2} i [t(x, -\theta_h) - t(x, \theta_h)], \theta_h = \pi k/a \quad (k=1, 2, \dots) \quad (2.4)$$

$$q_h(x) = \frac{1}{2} [t(x, \theta_h) + t(x, -\theta_h)], \theta_h = \pi k/(2a) \quad (k=1, 3, 5, \dots) \quad (2.5)$$

Функция  $t(x, \eta)$  имеет следующий вид

$$t(x) = t(x, \eta) = K^{-1}(\eta) \exp(-i\eta x) [\operatorname{erf} \sqrt{(B+i\eta)(a-x)} +$$

$$+ \operatorname{erf} \sqrt{(B-i\eta)(a-x)} - 1] + \frac{1}{c} \frac{\exp[-B(a+x)+i\eta a]}{\sqrt{\pi(a+x)}} \sqrt{B+i\eta} + \\ + \frac{1}{c} \frac{\exp[-B(a-x)-i\eta a]}{\sqrt{\pi(a-x)}} \sqrt{B+i\eta} \quad (2.6)$$

$$+ \frac{1}{c} \sum_{i=1}^n \beta_i * [\sqrt{B-i\eta} \exp(-i\eta a) \Phi_i(\eta, x) + \sqrt{B+i\eta} \exp(i\eta a) \Phi_i(-\eta, -x)] - \\ - i \sum_{h=1}^{2n} C_h(\eta) \sum_{j=1}^n \alpha_j * \sum_{i=1}^n \beta_i * [F_j(x_h) \Phi_i(-p_j, x) + F_j(-x_h) \Phi_i(-p_j, -x)] - \\ - i \frac{\exp[-B(a-x)]}{\sqrt{\pi(a-x)}} \sum_{h=1}^{2n} C_h(\eta) \sum_{j=1}^n \alpha_j F_j(x_h) - \\ - i \frac{\exp[-B(a+x)]}{\sqrt{\pi(a+x)}} \sum_{h=1}^{2n} C_h(\eta) \sum_{j=1}^n \alpha_j * F_j(-x_h)$$

$$F_j(x_h) = \exp[ip_j(a-x_h)]/\sqrt{B-ip_j}, \quad \alpha_j^* = \alpha_j/2p_j, \quad \beta_i^* = \beta_i/(2z_i)$$

$$\Phi_i(\eta, x) = \frac{\sqrt{B+iz_i}}{z_i-\eta} \exp[-iz_i(a-x)] \operatorname{erf} \sqrt{(B+iz_i)(a-x)} + \\ + \frac{\sqrt{B-iz_i}}{-z_i-\eta} \exp[-iz_i(a-x)] [1 - \operatorname{erf} \sqrt{(B-iz_i)(a-x)}]$$

$$\alpha_j = \prod_{h=1}^n (p_j^2 - z_h^2) \prod_{h \neq j}^n (p_j^2 - p_h^2)^{-1}, \quad \beta_i = \prod_{h=1}^n (z_i^2 - p_h^2) (z_i^2 - z_h^2)^{-1}$$

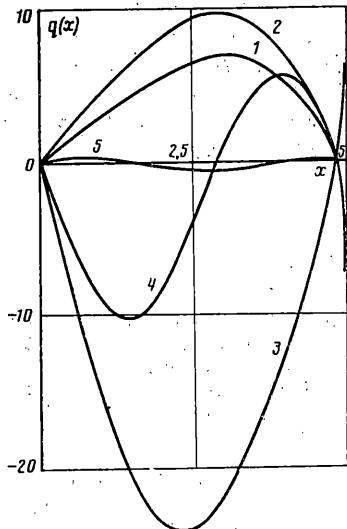
Здесь  $z_h, p_h$  — вещественные и комплексные нули, полюса  $K(u)$ , имеющие вид (1.3), расположенные выше контура  $\sigma$ . Коэффициенты  $C_h(\eta)$  определяются из линейной алгебраической системы уравнений порядка  $2n$  вида

$$\sum_{h=1}^{2n} C_h \{ \sqrt{B+iu} \exp(iua) Z(u, x_h) + \sqrt{B-iu} \exp(-iua) Z(-u, -x_h) \} = \\ = \frac{1}{ic(u-\eta)} \{ \exp[ia(u-\eta)] [\sqrt{(B+iu)(B-i\eta)} \operatorname{erf} \sqrt{2a(B+iu)} + \\ + \sqrt{B^2+\eta^2} \operatorname{erf} \sqrt{2a(B-i\eta)} - \sqrt{B^2+\eta^2}] - \\ - \exp[-ia(u-\eta)] [\sqrt{(B-iu)(B+i\eta)} \operatorname{erf} \sqrt{2a(B-iu)} + \\ + \sqrt{B^2+\eta^2} \operatorname{erf} \sqrt{2a(B+i\eta)} - \sqrt{B^2+\eta^2}] \}$$

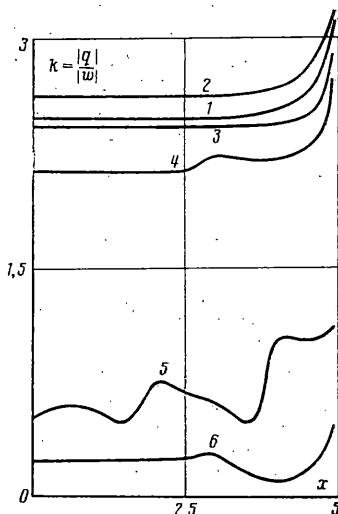
$$u = \pm z_l \quad (l=1, 2, \dots, n)$$

$$Z(u, x_h) = \sum_{j=1}^n \alpha_j \frac{\exp[ip_j(a-x_h)]}{(u+p_j) 2p_j \sqrt{B-ip_j}}$$

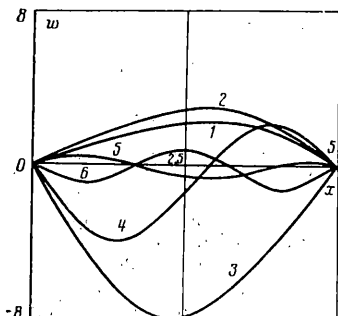
Подставляя (2.3) в исходное уравнение (1.1), умножая обе части полученного соотношения на  $\sin(\pi l x/a)$  (1) или  $\cos(\pi l x/a)$  (2) и интегрируя по  $x$  в пределах от  $-a$  до  $a$ , получаем следующую систему линейных



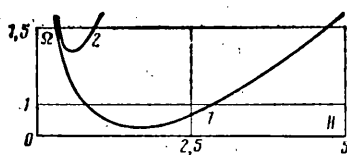
Фиг. 2



Фиг. 4



Фиг. 3



Фиг. 5

алгебраических уравнений относительно неизвестных коэффициентов  $b_k$ :

$$a_l b_l + \beta \sum_k d_{kl} b_k = P_l \quad (2.7)$$

Задачи 1 и 2 соответственно:

$$a_l = \left( \frac{\pi l}{a} \right)^4 - \alpha \left( \frac{\pi l}{a} \right)^2 - R\Omega^2, \quad d_{kl} = \frac{1}{2ia} \int_{-a}^a q_k(x) \sin \frac{\pi l x}{a} dx \quad (2.8)$$

$$P_l = \frac{1}{a} \int_{-a}^a P(x) \sin \frac{\pi l x}{a} dx \quad (k=1, 2, 3, \dots; l=1, 2, 3, \dots)$$

$$a_l = \left( \frac{\pi l}{2a} \right)^4 - \left( \frac{\alpha \pi l}{2a} \right)^2 - R\Omega^2, \quad d_{kl} = \frac{1}{2a} \int_{-a}^a q_k(x) \cos \frac{\pi l x}{2a} dx \quad (2.9)$$

$$P_l = \frac{1}{a} \int_{-a}^a P(x) \cos \frac{\pi l x}{2a} dx \quad (k=1, 3, 5, \dots, l=1, 3, 5, \dots)$$

Коэффициенты матрицы  $D = \|d_{kl}\|$ , определяемые формулами (2.8), (2.9), вычисляются непосредственным интегрированием с учетом соотношений (2.4)–(2.6), являются функциями от аргументов  $\Omega$ ,  $a$ ,  $v$  (коэффициент Пуассона) и здесь не приводятся.

Для построения приближенного решения  $u(x)$  и  $q(x)$  достаточно взять в (2.1), (2.2), (2.3), (2.7) всего несколько членов ряда, чтобы обеспечить заданную точность, поскольку коэффициенты  $b_k$  достаточно быстро стремятся к нулю с ростом параметра  $k$ .

Отметим, что равнодействующая контактных давлений или реакция основания для задачи 1 в силу нечетности функции  $q(x)$  равна нулю, а для задачи 2 определяется выражением

$$Q = a \sum_{k=1,3,5}^{\infty} b_k d_{k,0}$$

3. Анализ решения. Результаты расчетов. На фиг. 2, 3 приводятся графики амплитуд контактных давлений  $q(x)$  и прогибов  $u(x)$  для случая стальной балки, лежащей на бетонном основании при  $P(x)=X$  (задача 1) в зависимости от частоты  $\Omega=0, 0,5, 1, 1,4$  (кривые 1–4 соответственно). При  $\Omega>\pi/2$  функции  $q(x)$  и  $u(x)$  комплексные, поэтому кривые 5, 6 иллюстрируют  $\operatorname{Re}q$ ,  $\operatorname{Re}u$  для  $\Omega=2,6$ ,  $\Omega=3,0$ . При этом  $M=0,035$ ,  $R_0=3,5$ ,  $H=1$ ,  $a=5$ ,  $n=0,5$ ,  $v=0,1$ .

На фиг. 4 дается отношение  $R=|q(x)|/|u(x)|=|q(x, \Omega)/u(x, \Omega)|$  для различного набора частот. Анализ результатов показывает, что в статике ( $\Omega=0$ ) в качестве

$H$	$\Omega_1^1$	$\Omega_2^1$	$\Omega_1^2$	$\Omega_2^2$	$\Omega_1^3$	$\Omega_2^3$
0,5	1,2	1,34	1,2	1,34	1,16	1,28
1,0	0,91	1,5	0,89	1,5	0,9	1,48
4	1,27	—	1,28	—	1,26	—

упругого основания можно использовать основание Винклера. При этом контактные давления будут пропорциональны прогибу ( $q=-ku$ ) для всех точек области контакта, исключая границу. Например, для стальной балки на бетонном основании (безразмерный) коэффициент податливости  $k=2,45$ . В динамике же, как это видно из фиг. 4, не удается подобрать такого единого  $k$ , чтобы для всех частот реакция основания была пропорциональна прогибу балки. Однако в области  $\Omega \leq \Omega_*$  ( $\Omega_*=\pi/2$  для слоя) для каждой конкретной частоты можно указать свой коэффициент податливости  $k(\Omega)$  в области  $|x| \leq a-\varepsilon$ ,  $0 < \varepsilon < 1$ . При  $\Omega > \Omega_*$ , т. е. когда в системе появляются неизотахающие колебания, использование гипотезы Винклера приводит к заведомо неверным результатам.

Резонансные системы находятся из равенства нулю определителя системы (2.7)  $\Delta=\det[\delta_{kl}a_{ij}+\beta d_{kl}]_{l,k,i=0}$  ( $\delta_{kl}$  — символ Кронекера). Как и в случае абсолютно жесткого штампа, изолированные резонансы появляются только в области  $0 \leq \Omega \leq \pi/2$ . На фиг. 5 дается график зависимости резонансной частоты от  $H=h_0/h$ . Очевидно, что с ростом параметра  $H$  значение резонансной частоты сначала падает, а затем растет. Для каждого конкретного значения  $H \in [0,3; 5]$  в области  $0 \leq \Omega \leq 1,3$  возможен только один резонанс (кривая 1), а в области  $1,3 \leq \Omega \leq 1,57$  появляется еще одна резонансная кривая (возникает второй резонанс).

Сопоставление резонансных явлений при колебаниях упругой балки на упругом слое (полосе) и на основании Винклера  $k=k(\Omega)$  показывает, что винклеровское основание порождает также две резонансных кривых в области  $[0, \pi/2]$ , практически совпадающих с кривыми 1, 2 на фиг. 5.

В таблице приведены значения резонансных частот для упругого слоя  $\Omega_{1,2}^1$  и основания Винклера:  $\Omega_{1,2}^2$  для  $k=k(0)$  и  $\Omega_{1,2}^3$  для  $k=k(\Omega)$  для сравнения (балка — сталь, слой — бетон).

Анализ показывает, что для приближенного расчета изолированных резонансов с достаточной степенью точности можно использовать основание Винклера.

Авторы благодарят И. И. Воровича за внимание к работе и обсуждение результатов.

#### СПИСОК ЛИТЕРАТУРЫ

1. Ворович Е. И., Пряхина О. Д., Тукодова О. М. Динамические свойства упругой полограниценной среды, контактирующей с упругим инерционным элементом // Изв. АН СССР. МТГ. 1986. № 2. С. 128–133.
2. Ворович И. И., Бабешко В. А. Динамические смешанные задачи теории упругости для классических областей. М.: Наука, 1979. 319 с.
3. Бабешко В. А., Пряхина О. Д. Метод фiktивного поглощения в плоских динамических задачах // ПММ. 1980. Т. 44. Вып. 3. С. 477–484.

Ростов н/д

Поступила в редакцию  
17.II.1987